

DSZOB

Digitálne spracovanie zvuku,  
obrazu a biosignálov

Fourier transform  
FFT

# Some basic correspondences

# Príklad: pravoúhly puls

## Example : Rectangular Pulse $\Leftrightarrow$ sinc

Uvažujeme pravoúhly puls  
definovaný okolo počiatku

(Consider the non-periodic rectangular pulse  
at zero)

$$x(t) = \begin{cases} 1 & |t| < T_1 \\ 0 & |t| \geq T_1 \end{cases}$$

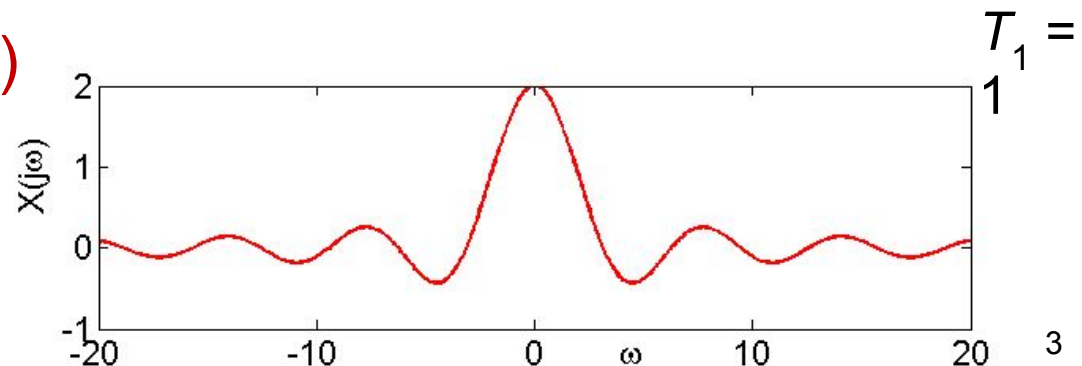
Fourierova transformácia  
pravoúhleho pulsu je funkcia:

The Fourier transform of single rectangular  
pulse is function :

$$\text{sinc}(\omega T_1) = \sin(\omega T_1) / (\omega)$$

$$\begin{aligned} X(j\omega) &= \int_{-\infty}^{\infty} x(t) e^{-j\omega t} dt = \int_{-T_1}^{T_1} e^{-j\omega t} dt \\ &= \frac{1}{-j\omega} e^{-j\omega t} \Big|_{-T_1}^{T_1} \\ &= \frac{2 \sin(\omega T_1)}{\omega} \end{aligned}$$

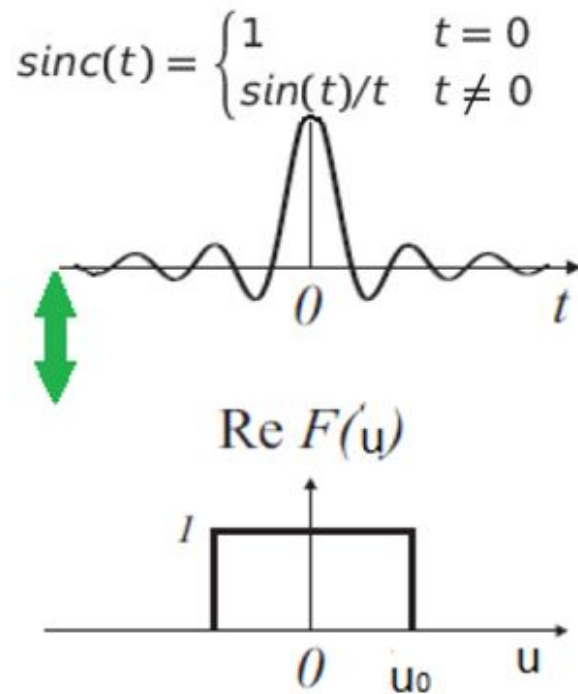
Note, the values are real



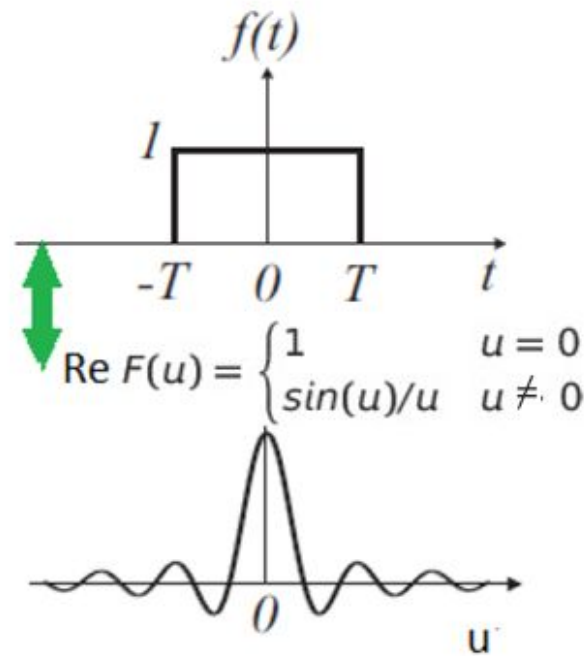
# Funkcia a jej Fourierovské spectrum

## $\text{sinc}(t) \Leftrightarrow \text{rectangle pulse}$

Sinc(x) function is defined for  $x \neq 0$  by  $\text{sinc}(x) = \frac{\sin(x)}{x}$   
 the value at  $x = 0$  is defined to be the limiting  $\text{sinc}(0) = \lim_{x \rightarrow 0} \frac{\sin(x)}{x} = 1$



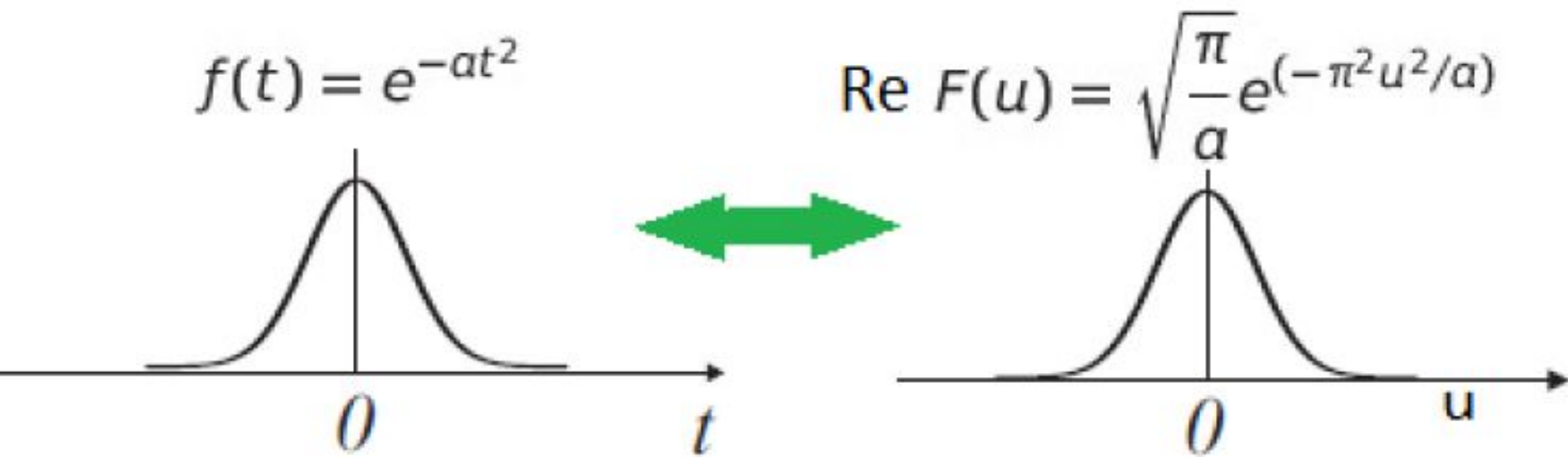
**Obrázok 1.5:** Funkcia  $\text{sinc}(t)$  a jej reálne spektrum.



**Obrázok 1.6:** Obdĺžniková funkcia a jej reálne spektrum.

# Gaussova funkcia a jej Fourierovské spectrum

## Gauss function $\Leftrightarrow$ Gauss function



**Obrázok 1.7:** Gaussova funkcia a jej reálne spektrum.

# Vlastnosti Fourierovej transformácie

## *Fourier Transform Properties*

# Linearita Fourierovej transformácie (*Linearity of Fourier Transform*)

Majme pár:

funkciu  $f_1(t)$  a k nej príslušné spektrum  $F_1(u)$ .

Majme druhý pár:

funkciu  $f_2(t)$  a k nej príslušné spektrum  $F_2(u)$ .

Takéto páry budeme označovať ako:

$$f_1(t) \Leftrightarrow F_1(u),$$

$$f_2(t) \Leftrightarrow F_2(u).$$

Ďalej sú dané konštanty:  $K_1$  a  $K_2$ .

Potom platí, že:

$$K_1*f_1(t)+K_2*f_2(t) \Leftrightarrow K_1*F_1(u)+K_2*F_2(u)$$

*The Fourier Transform is a linear transform. That is, let's say we have two functions  $f_1(t)$  and  $f_2(t)$ , with Fourier Transforms given by  $F_1(u)$  and  $F_2(u)$ , respectively. Then the Fourier Transform of a linear combination of  $f_1$  and  $f_2$  (using constants  $K_1$  and  $K_2$ ) can be easily found:*

$$K_1*f_1(t)+K_2*f_2(t) \Leftrightarrow K_1*F_1(u)+K_2*F_2(u)$$

# Vlastnosti Fourierovej transformácie

## Veta o posunutí v čase (time shifting)

Majme transformačný pár: funkciu  $f(x)$  a k nej príslušné spektrum  $F(u)$ .  $f(x) \Leftrightarrow F(u)$ .

Keď signál  $f(x)$  posunieme v čase o  $t_0$ , tak pre jeho spektrum platí

$$f(x - t_0) \Leftrightarrow e^{-j 2\pi u t_0} F(u).$$

Na strane spektra po posunutí signálu v čase pribudol multiplikatívny člen, spektrum bude vynásobené komplexnou jednotkou :  $e^{-j 2\pi u t_0}$ .

**Magnitúdové spektrum posunutého signálu zostáva teda nezmenené, zmení sa len fázové spektrum.**

*The time-shifting property means that a shift in time corresponds to a phase rotation in the frequency domain:  $F\{f(x-t_0)\} = \exp(-j 2\pi f t_0) F(u)$ .*



# Veta o podobnosti

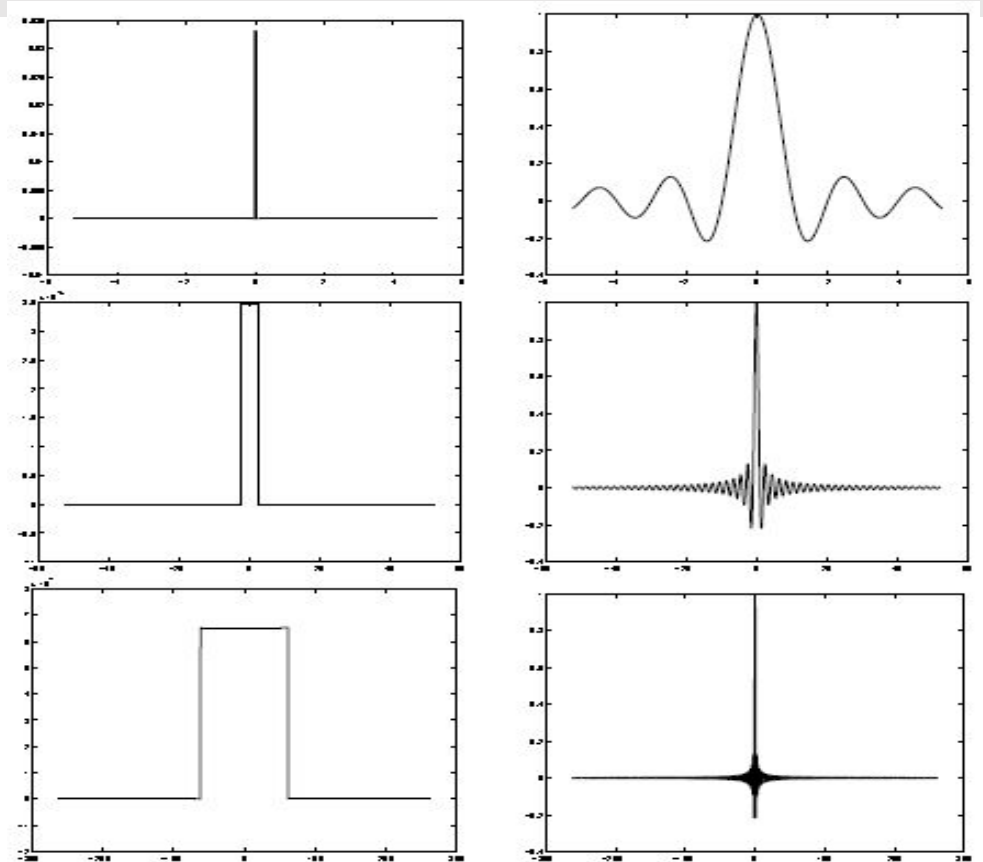
## Veta o zmene mierky času -Time scaling

Veta o podobnosti.  
Nazývaná je tiež ako  
veta o zmene mierky  
času

$$f(at) \iff \frac{1}{|a|} F(u/a).$$

„Roztiahnutie“ signálu v  
časovej osi sa prejaví  
ako „zúženie“ signálu  
jeho spektra a naopak.

Ilustrácia vety o podobnosti. Na x-ovej osi je premenná  $x$  pre vstupný signál resp. premenná  $u$  pre spektrum. Na y-novej osi je amplitúda signálu resp. spektra.



# DFT matrix

# DFT matrix

Calculation of DFT using DFT matrix  $W = \left( \frac{\omega^{jk}}{\sqrt{N}} \right)_{j,k=0,\dots,N-1}$

$$\begin{pmatrix} F_0 \\ F_1 \\ F_2 \\ \vdots \\ F_{(N-1)} \end{pmatrix} = \underbrace{\begin{pmatrix} 1 & 1 & \dots & 1 \\ 1 & W^1 & \dots & W^{N-1} \\ 1 & W^2 & \dots & W^{2N-2} \\ \vdots & \vdots & & \vdots \\ 1 & W^{N-1} & \dots & W^{(N-1)^2} \end{pmatrix}}_W \cdot \begin{pmatrix} f_0 \\ f_1 \\ f_2 \\ \vdots \\ f_{(N-1)} \end{pmatrix} \quad \omega = e^{-\frac{2\pi i}{N}}$$

Maticový zápis výpočtu DFT skrátene napíšeme ako

$$\mathbf{F} = \mathbf{W} \cdot \mathbf{f},$$

# DFT spôsoby výpočtu

1. Z definície: 
$$F(u) = \frac{1}{M} \sum_{x=0}^{M-1} f(x) e^{-j2\pi ux/M} \quad u = 0, \dots, M-1$$

2. Transformačnou maticou

$$\begin{pmatrix} F_0 \\ F_1 \\ F_2 \\ \vdots \\ F_{(N-1)} \end{pmatrix} = \underbrace{\begin{pmatrix} 1 & 1 & \dots & 1 \\ 1 & W^1 & \dots & W^{N-1} \\ 1 & W^2 & \dots & W^{2N-2} \\ \vdots & \vdots & & \vdots \\ 1 & W^{N-1} & \dots & W^{(N-1)^2} \end{pmatrix}}_{\mathbf{W}} \cdot \begin{pmatrix} f_0 \\ f_1 \\ f_2 \\ \vdots \\ f_{(N-1)} \end{pmatrix}$$

Maticový zápis výpočtu DFT skrátené napíšeme ako

$$\mathbf{F} = \mathbf{W} \cdot \mathbf{f},$$

3. FFT

FFT

# Fast Fourier Transform FFT

Keď v roku 1965 Cooley a Tukey ohlásili objavenie rýchlej Fourierovej transformácie (FFT), spôsobili revolúciu digitálneho spracovania signálov.

When in 1965 Cooley and Tukey announced discovery of Fast Fourier Transform (FFT) it revolutionised Digital Signal Processing.

- jedna z najviac rozvinutých oblastí DSP (Digital Signal Processing)
- existuje veľa rôznych typov a variácií algoritmu FFT.
- najzákladnejší algoritmus radix-2 vyžaduje, aby  $N$  bolo mocninou 2.

FFT je veľmi elegantný a efektívny algoritmus, ktorý je stále jedným z najpoužívanějších algoritmov v spracovaní reči, komunikácii, frekvenčnom odhade atď

# Fast Fourier Transform FFT

## Základný koncept FFT

Základný princíp FFT pre vektory s dĺžkou  $N$  s ľubovoľným základom (mixed-radix FFT), ktorý predstavili už autori Danielson a Lanczos v roku 1942, je faktorizácia.

Ak  $N$  môže byť rozložené na súčin  $n_f$  prirodzených čísiel  $N = f_1 f_2 \dots f_{n_f}$ , tak výpočet DFT môže byť rozdelený na výpočet viacerých DFT pre každý činiteľ zvlášť.

$(N/f_1)$  výpočtov DFT s dĺžkou  $f_1$ ,

$(N/f_2)$  výpočtov DFT s dĺžkou  $f_2, \dots$

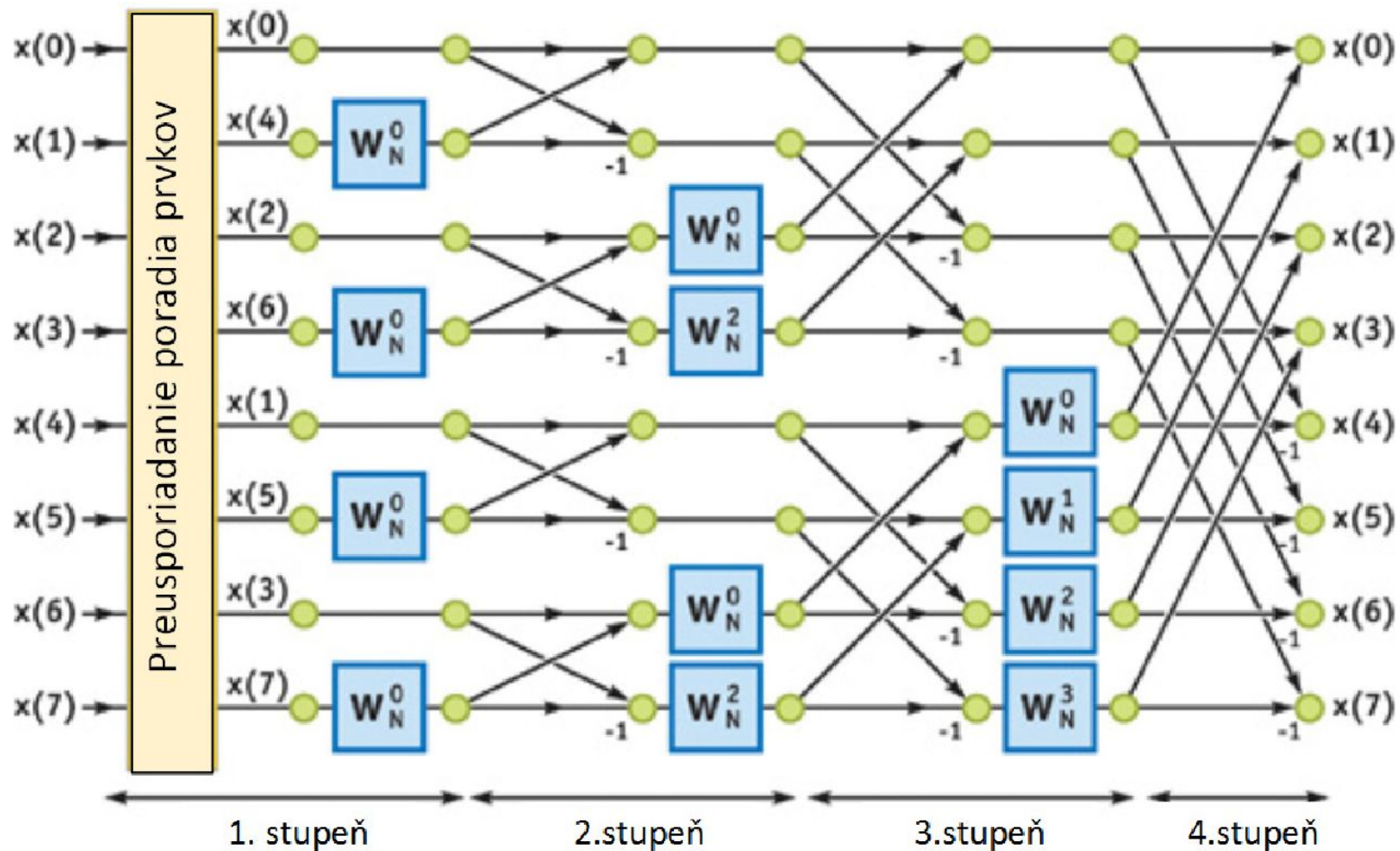
$(N/f_{n_f})$  výpočtov DFTs s dĺžkou  $f_{n_f}$ .

Celkový počet operácií pre tieto suboperácie potom bude:

$$O(N (f_1 + f_2 + \dots + f_{n_f})).$$

V prípade, že činitele  $N$  sú malé celé čísla, tak výpočtová náročnosť bude podstatne menšia ako  $O(N^2)$ .

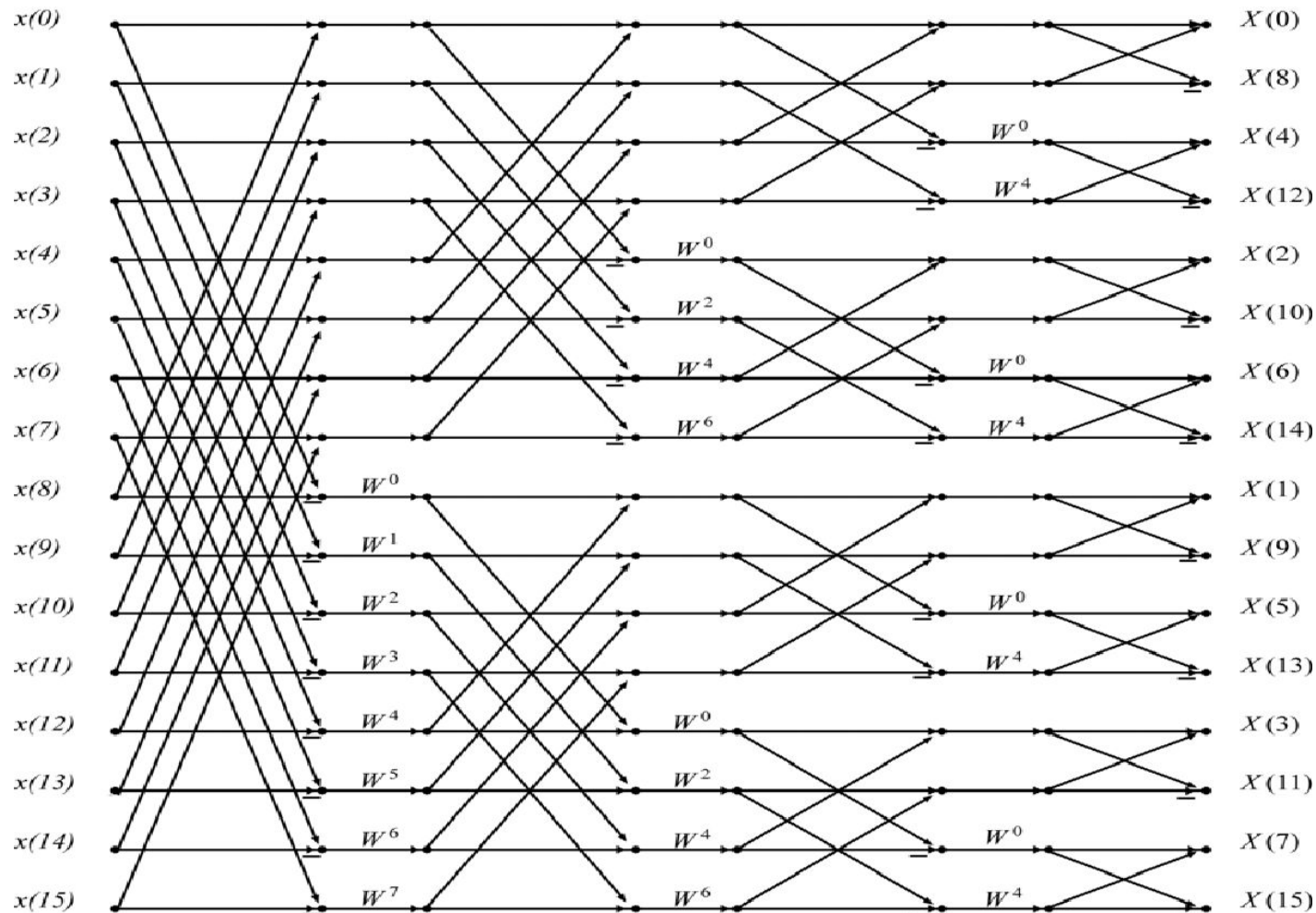
# Fast Fourier Transform FFT





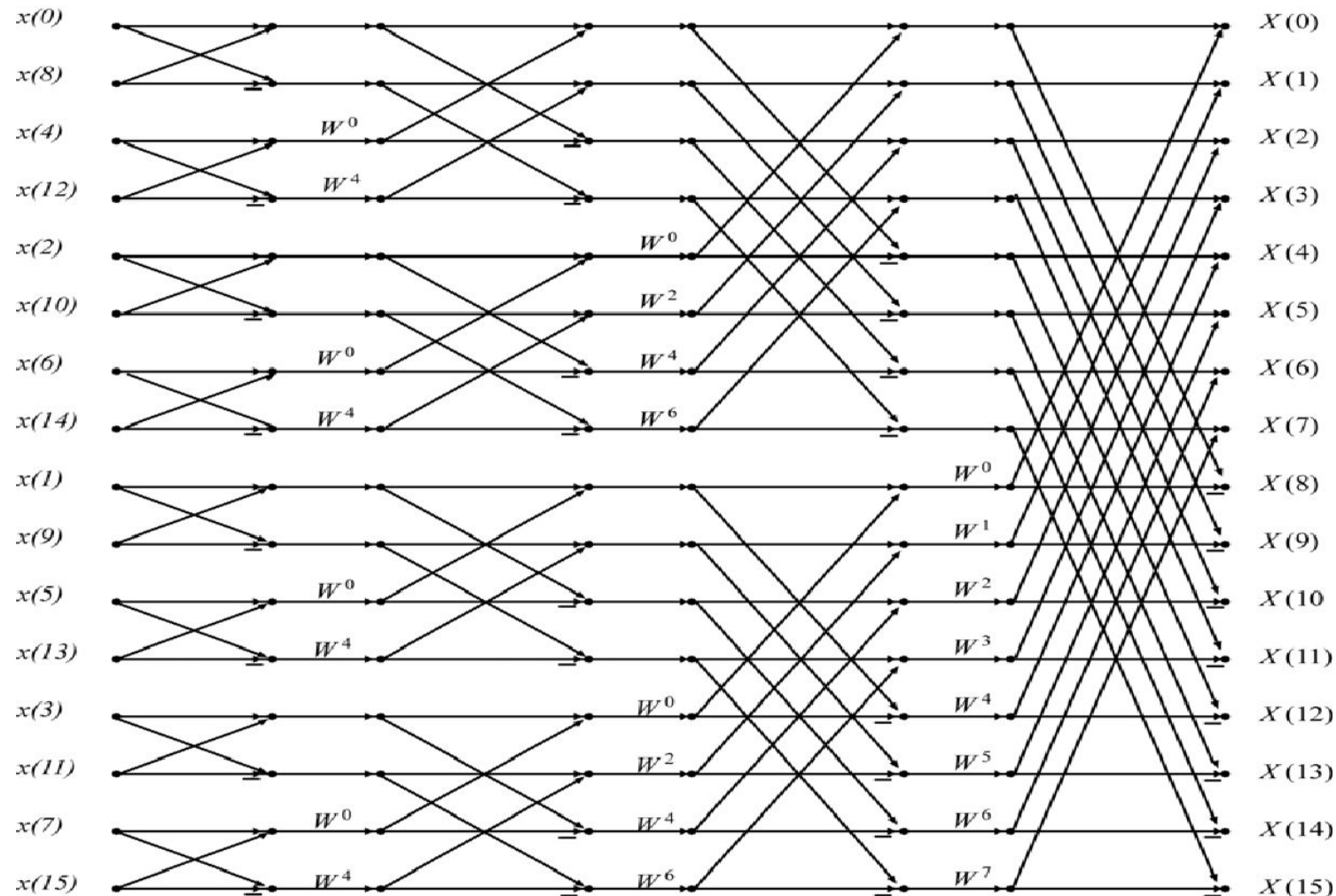
# Fast Fourier Transform FFT

decimácia vo frekvencii.



# Fast Fourier Transform FFT

decimácia v čase.



# FFT - Bitovo invertované poradie prvkov

Poradie prvkov napíšeme ako bitový reťazec. Jeho bitovo invertované poradové číslo potom získame tak, že tento bitový reťazec interpretujeme opačným smerom zápisu, čiže odzadu smerom dopredu.

V signálovom diagrame FFT je poradie prvkov bitovo invertované, a to na vstupe alebo na výstupe, podľa toho, či sa jedná o FFT typu decimácia v čase alebo decimácia vo frekvencii.

## Optimalizácia výpočtu FFT.

Algoritmus výpočtu FFT sa nechá paralelizovať, je vhodný na rýchle hardvérové implementácie na špeciálnych čipoch i na výpočet pomocou grafického procesora GPU.

Na záver si pripomeňme, že algoritmus FFT (Cooley-Tukey) je pre vektory s dĺžkou mocniny dvoch:  $N = 2^M$ .

# Doplnenie nulami (zero padding)

Metódu doplnenia nulami nájdeme v anglickej literatúre pod názvom „zero padding“.

Používajú sa dva základné prístupy:

- doplnenie nulami v spektrálnej oblasti,
- doplnenie nulami v priestorovej oblasti.

**Doplnenie nulami v spektrálnej oblasti** môžeme použiť pre zvýšenie rozlíšenia vstupného obrazu. Novozískané hodnoty sú vlastne interpolované existujúce hodnoty obrazu, neobsahujú novú informáciu.

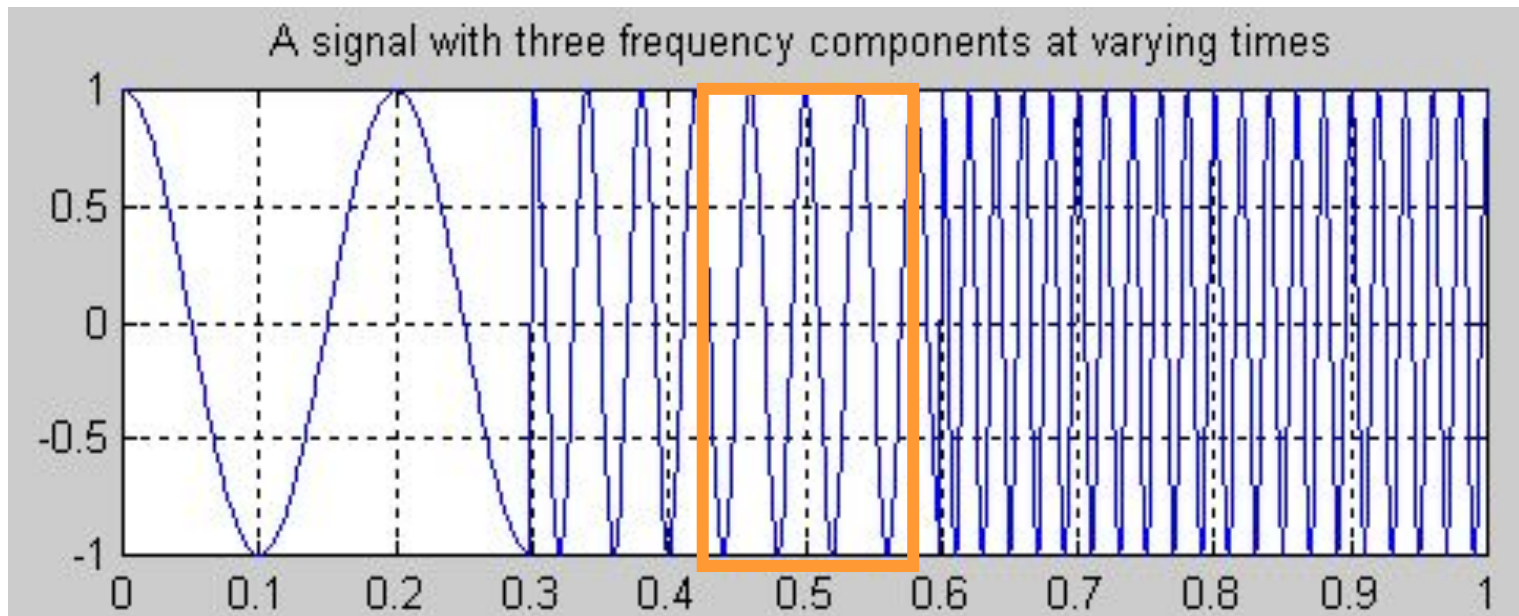
**Doplnenie nulami v priestorovej oblasti** podobne zvýši rozlíšenie. V prípade, že náš vstupný signál nespĺňa dĺžku mocniny dvoch:  $N = 2^M$ , tak výhodneme môžeme použiť metódu doplnenia nulami.

# Short-Time Fourier Transform

## STFT

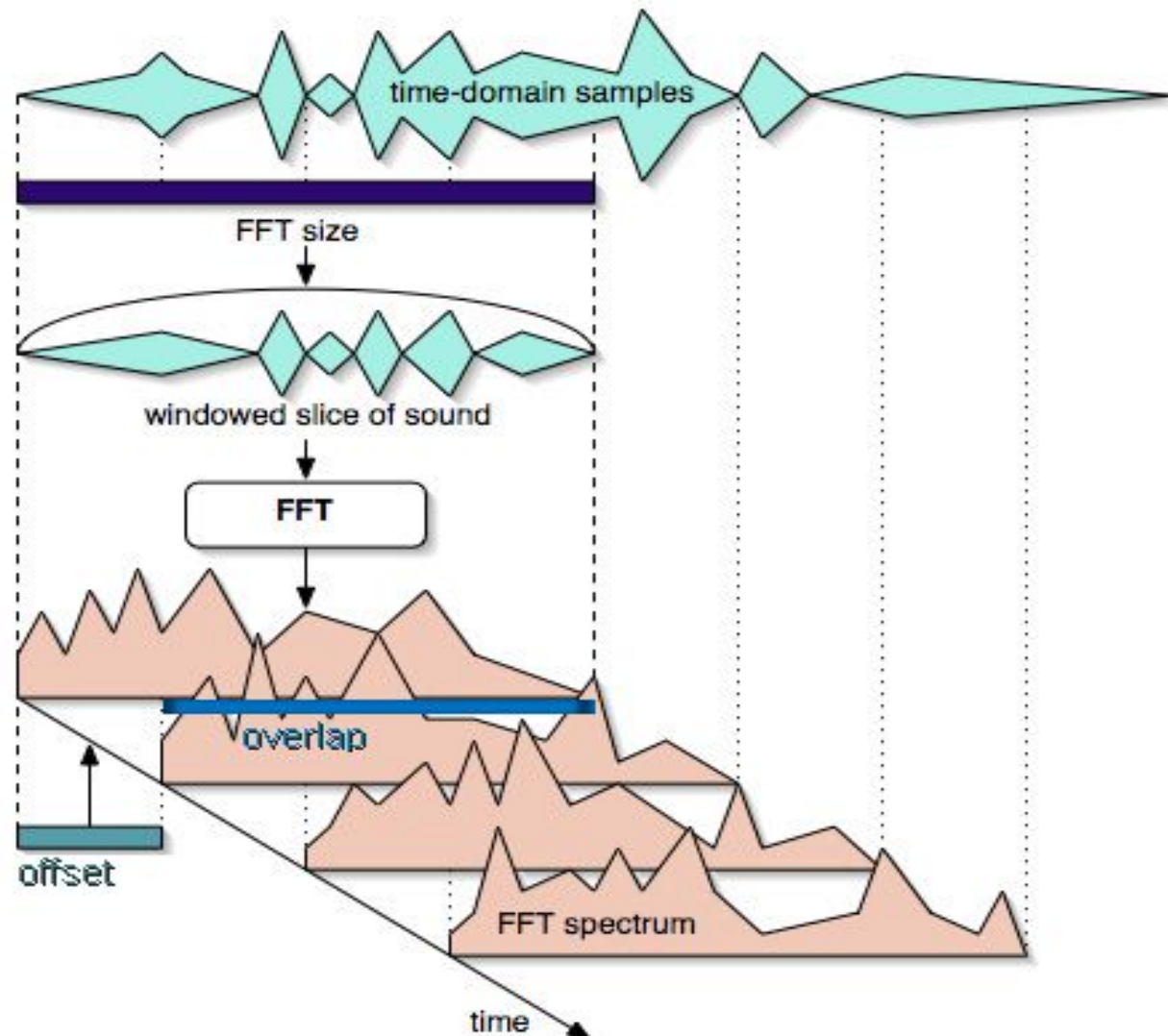
# Short-Time Fourier Transform Window STFT

- Segmentovanie signálu do úzkych časových intervalov (to znamená, že je dostatočne úzky na to, aby sa považoval za stacionárny - "kvázi-stacionárny").
- Výpočet Fourierovej transformácie pre každý segment.



# Short-Time Fourier Transform (STFT)

Offset  
or  
Overlap

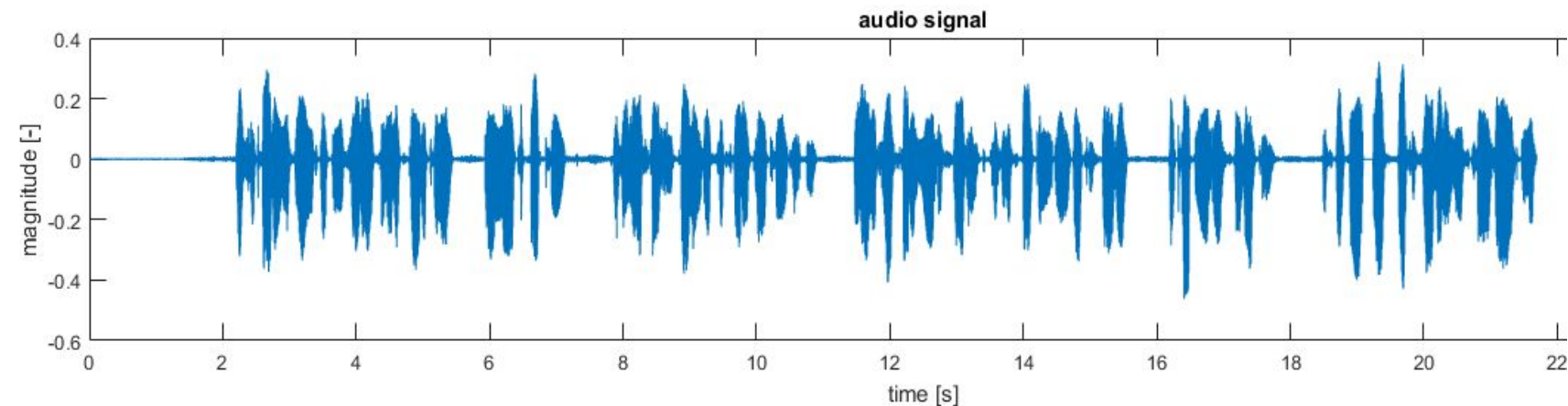




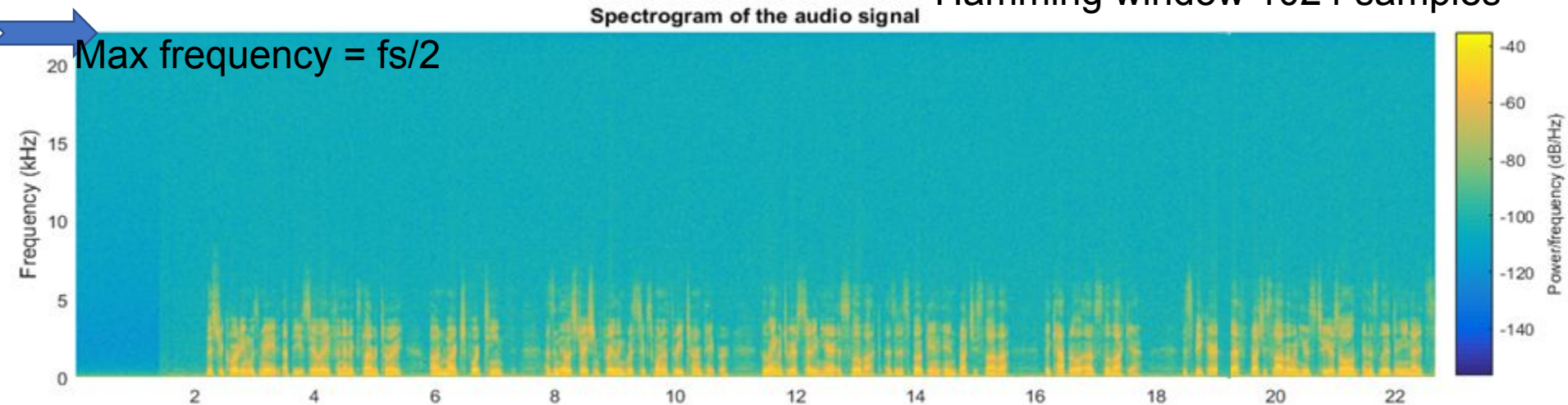
# Short Time Fourier Transform Visualisation - Spectrogram (how to scale axes?)

Example of a audio signal

Sample frequency  $f_s = 44100$  Hz



Hamming window 1024 samples





# Demo

Demo spectrogram:

<https://academo.org/demos/spectrum-analyzer/>

Interaktivny nástroj:

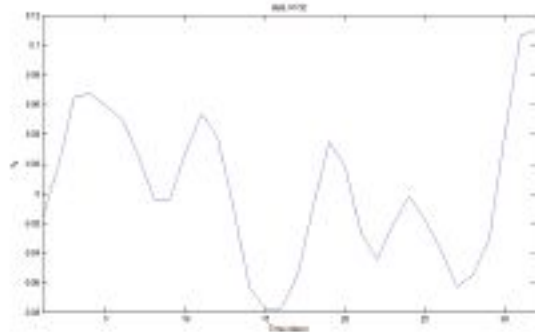
<http://www.falstad.com/fourier/>

VIDEO:

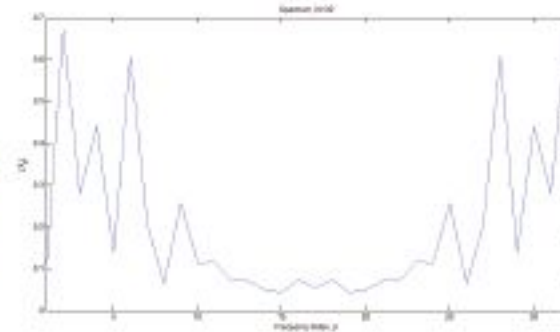
<https://www.youtube.com/watch?v=nmgFG7PUHfo>

# The Effect of data length $N$ (window size)

$N=32$

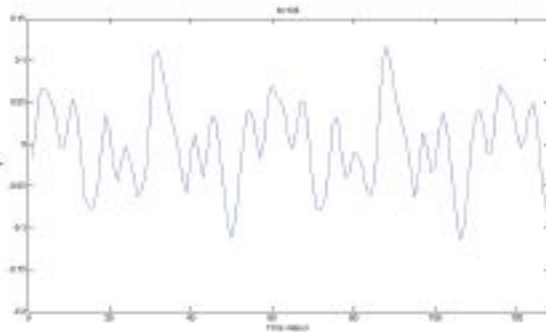


FFT

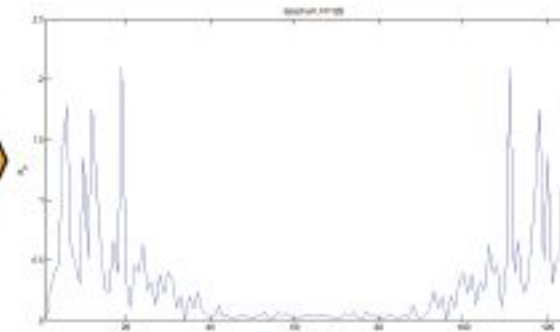


Low  
resolution

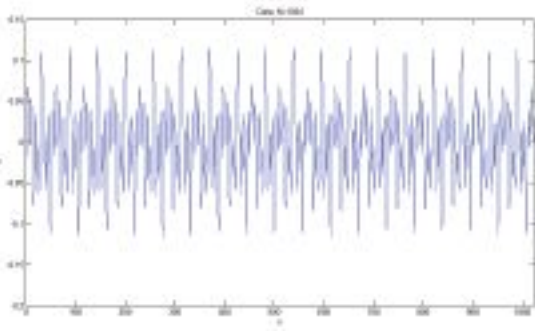
$N=128$



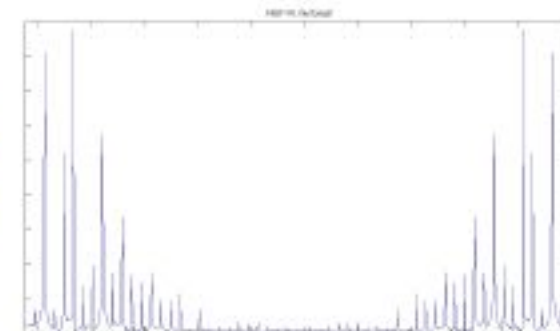
FFT



$N=1024$



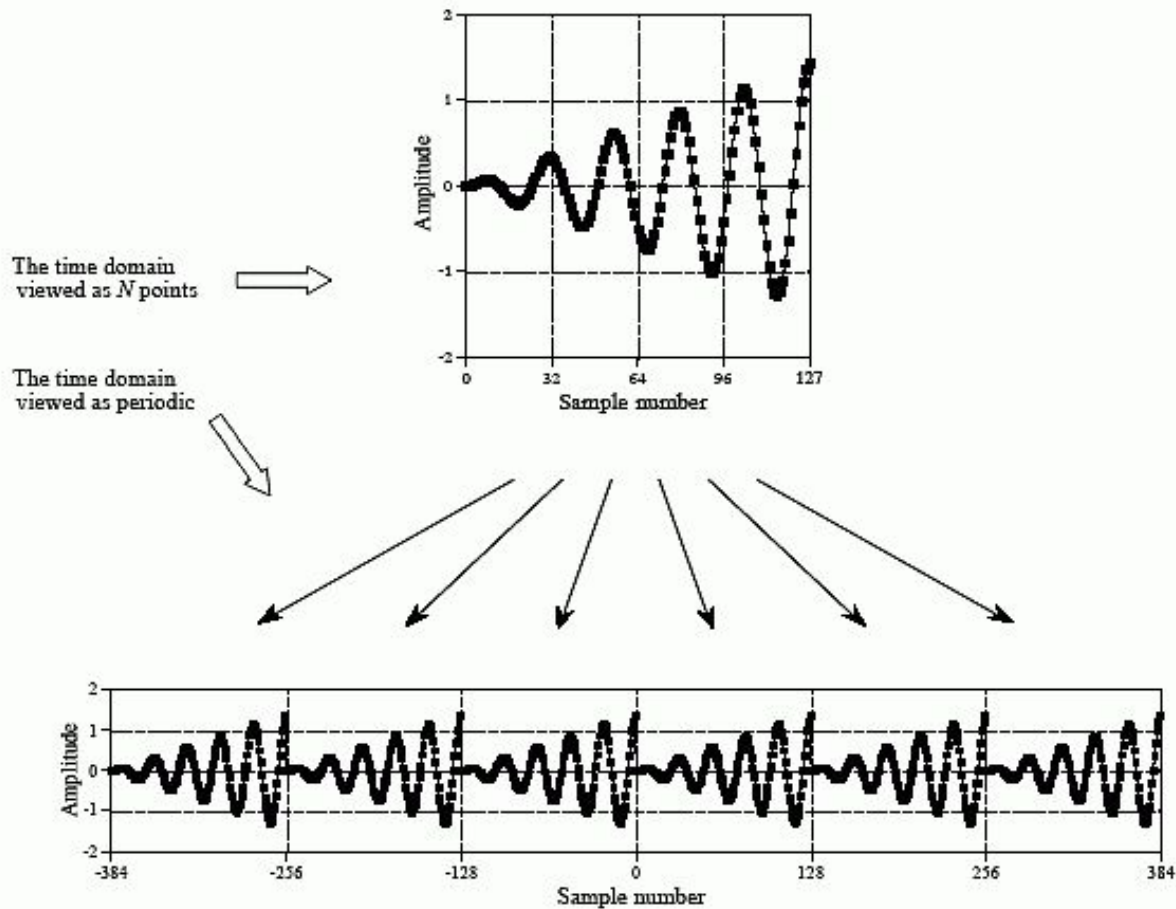
FFT



High  
resolution

# Spectral Leakage Gipps phenomenon

# Periodicity of the DFT



Periodicity of the DFT's time domain signal. The time domain can be viewed as  $N$  samples in length, shown in the upper figure, or as an infinitely long periodic signal, shown in the lower figure.

# Periodicity of the DFT

$$\begin{aligned} X[k + N] &= \sum_{n=0}^{N-1} x[n] e^{-j2\pi \frac{(k+N)n}{N}} \\ &= \left( \sum_{n=0}^{N-1} x[n] e^{-j2\pi \frac{kn}{N}} \right) e^{-j2\pi n} \\ &= X[k] e^{-j2\pi n} = X[k] \quad \Rightarrow \end{aligned}$$

The DFT spectrum  $X[k]$  is periodic with period  $N$

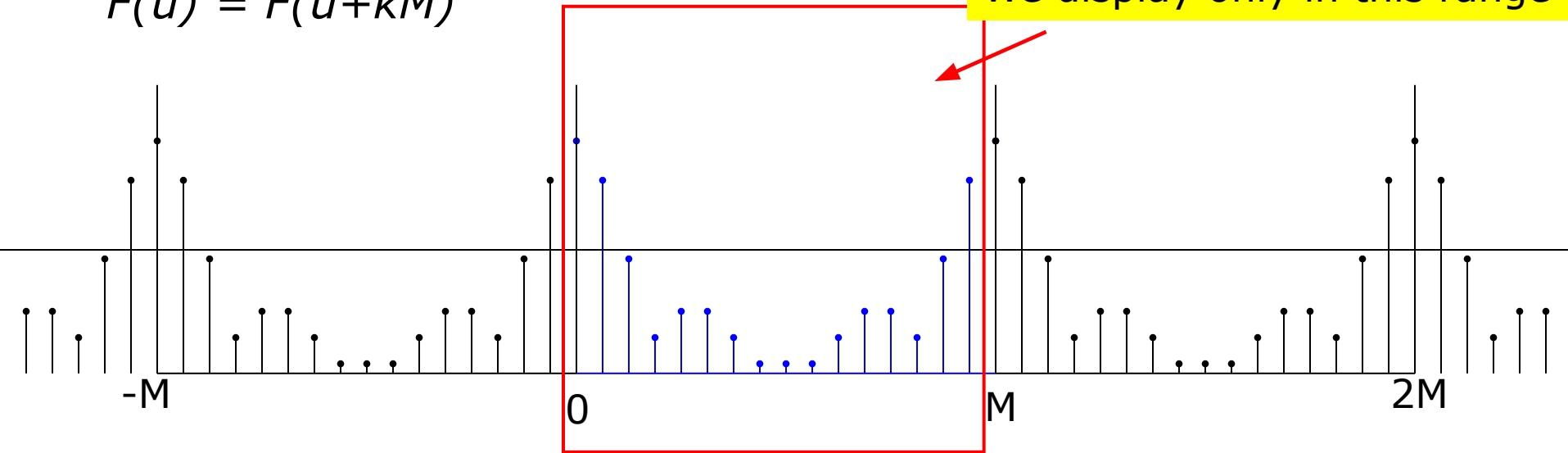
math. recap:  $e^{-j2\pi} = 1 + 0j$

# Periodicity of the DFT

From DFT: 
$$F(u) = \frac{1}{M} \sum_{x=0}^{M-1} f(x) e^{-j2\pi ux/M}$$

$$F(u) = F(u+kM)$$

We display only in this range

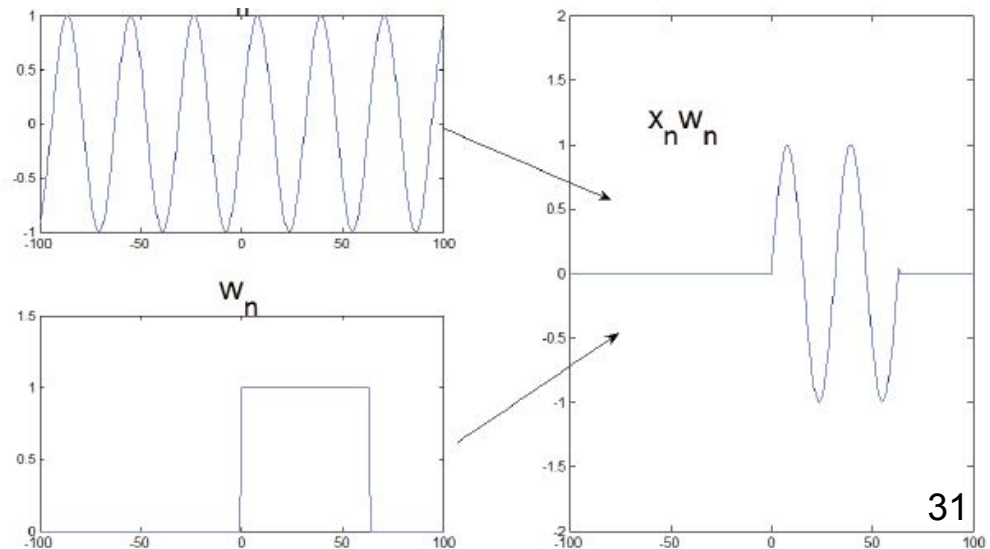


DFT repeats itself every M points (Period = M)

# Applying rectangular window

A finite sequence  $x[n]$  that is  $M$  samples long can be obtained from a longer sequence  $y[n]$  by applying a rectangular window of length  $M$ :

$$x[n] = \begin{cases} 0, & n < 0, \\ y[n], & 0 \leq n \leq (M - 1), \\ 0, & n \geq M. \end{cases}$$



# Spectral Leakage in STFT

An assumption in the DFT algorithm:

the time record (rectangular window size) is exactly synchronized with the signal

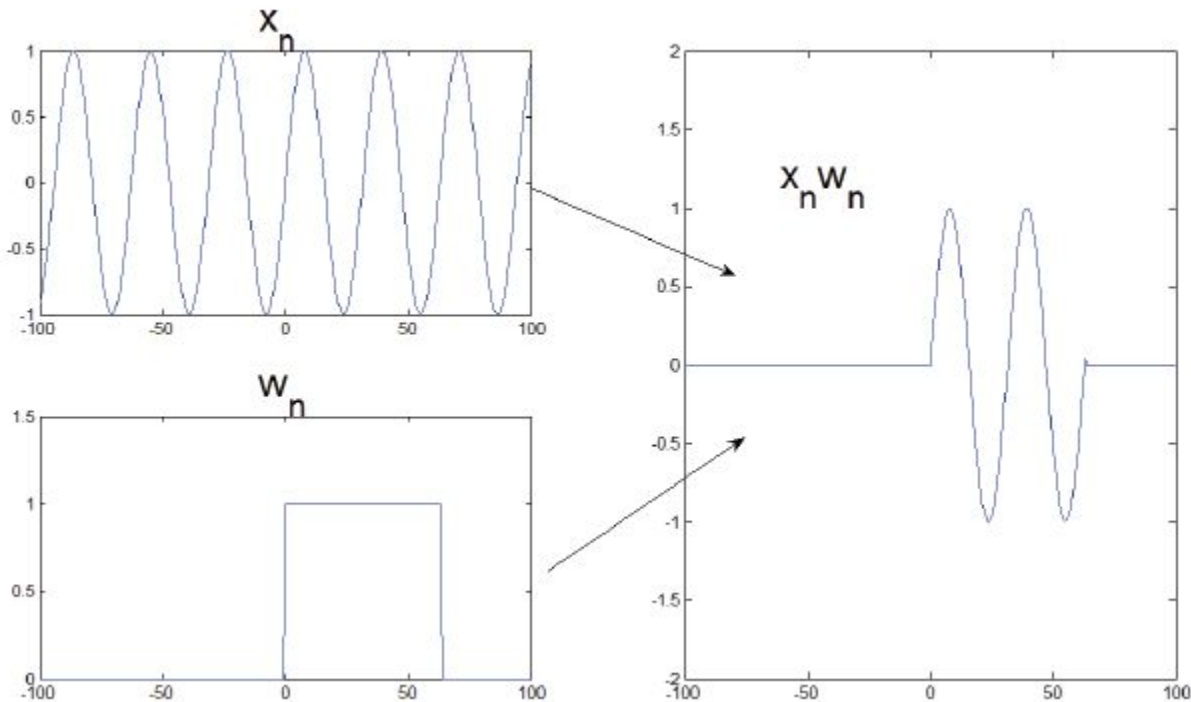
-> hence, the window should cover exactly the part of signal which has an integral number of periodical cycles.

If the time record (rectangular window size) corresponds to a **non-integral number of cycles**, this assumption is violated and spectral leakage occurs.



# Rectangle window in STFT

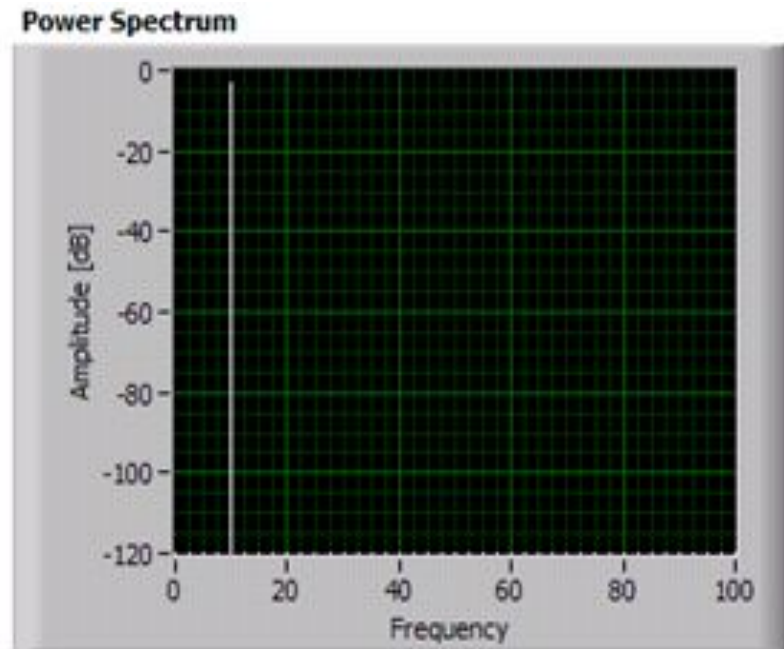
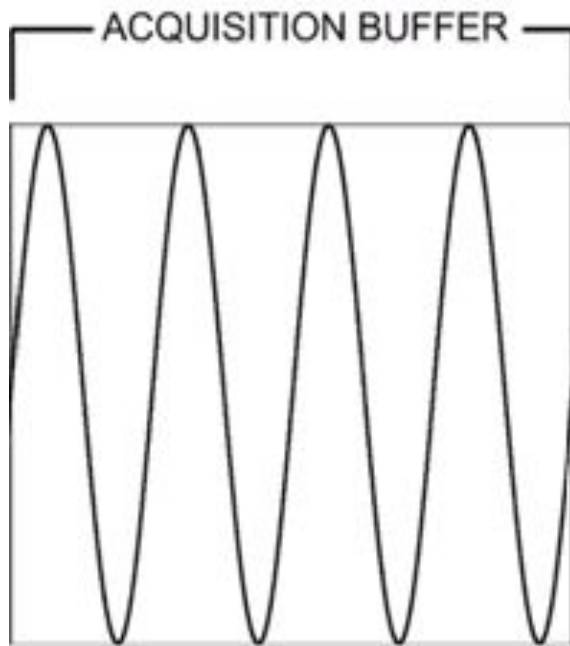
Example: window size is exactly synchronized with the signal



# Integer Number of Periods in Acquisition Time Interval

Acquisition buffer – rectangular window

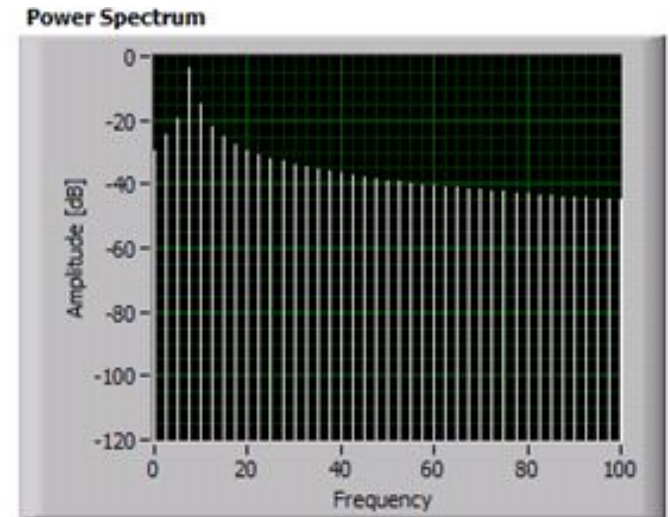
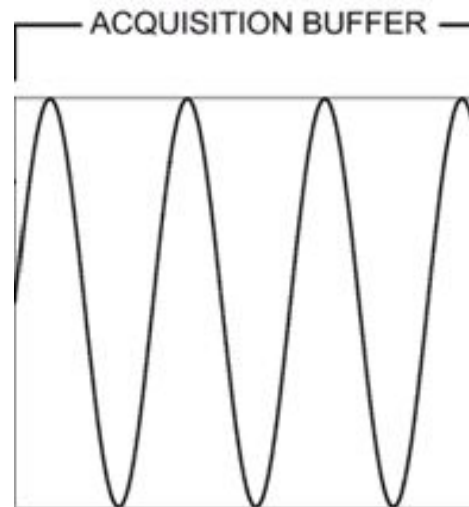
The **size is an integer number of periods** → spectrum after STFT is exact



# Non-Integer Number of Periods in Acquisition Time Interval- Spectral Leakage

Acquisition buffer – rectangular window

The size is an non-integer number of periods



!Log scale! (Db is logarithmic unit)

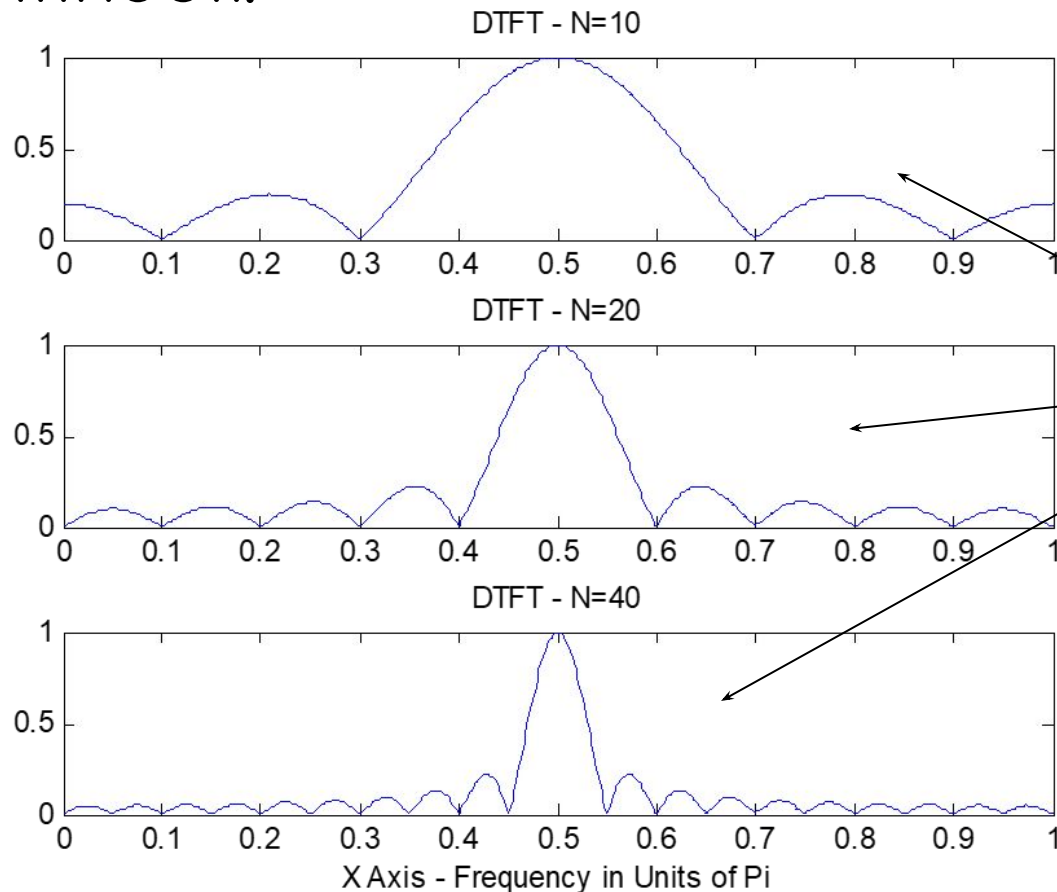
$$Amplitude_{dB} = 10 \cdot \log_{10}(P_1 / P_0)$$

In the spectrum are high side lobes

This phenomena is called Spectral Leakage.

# Spectral Leakage Gibbs Phenomenon

Windowing using non synchronized rectangular window.



the **rectangular window** (abrupt truncation of the signal) **results in side lobes (Gibbs phenomenon) in spectrum**

# Windowing

# Windowing

Solution of the problem of spectral leakage :

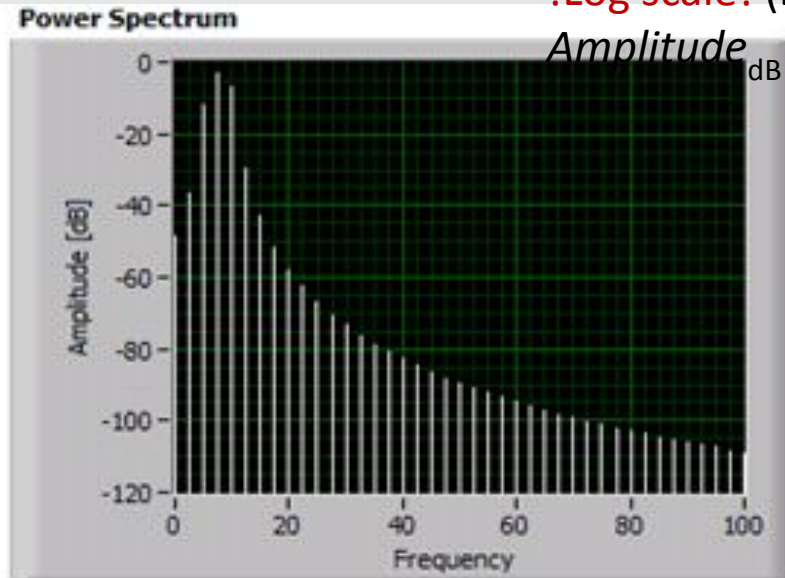
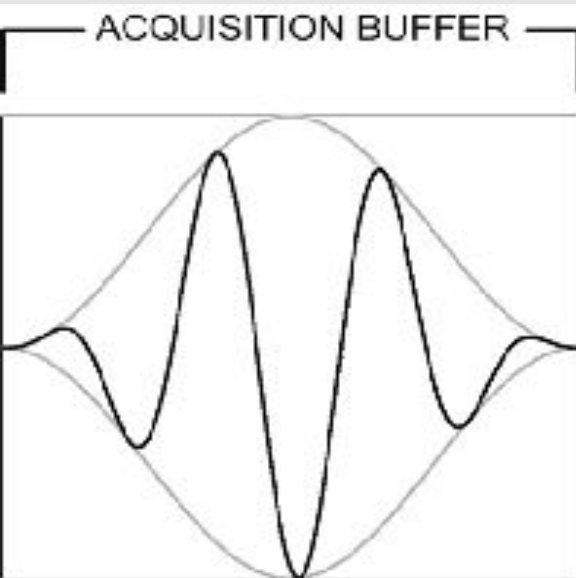
Use other than rectangular type of window -> „smooth“ window

Frequently used windows:

Hamming, Hanning, Blackman, Barlett, Gaussian window and more...

This type of windows **reduce (! but not completely remove!) the side-lobes** associated with the rectangular window

# Windowing Using „smooth“ window functions

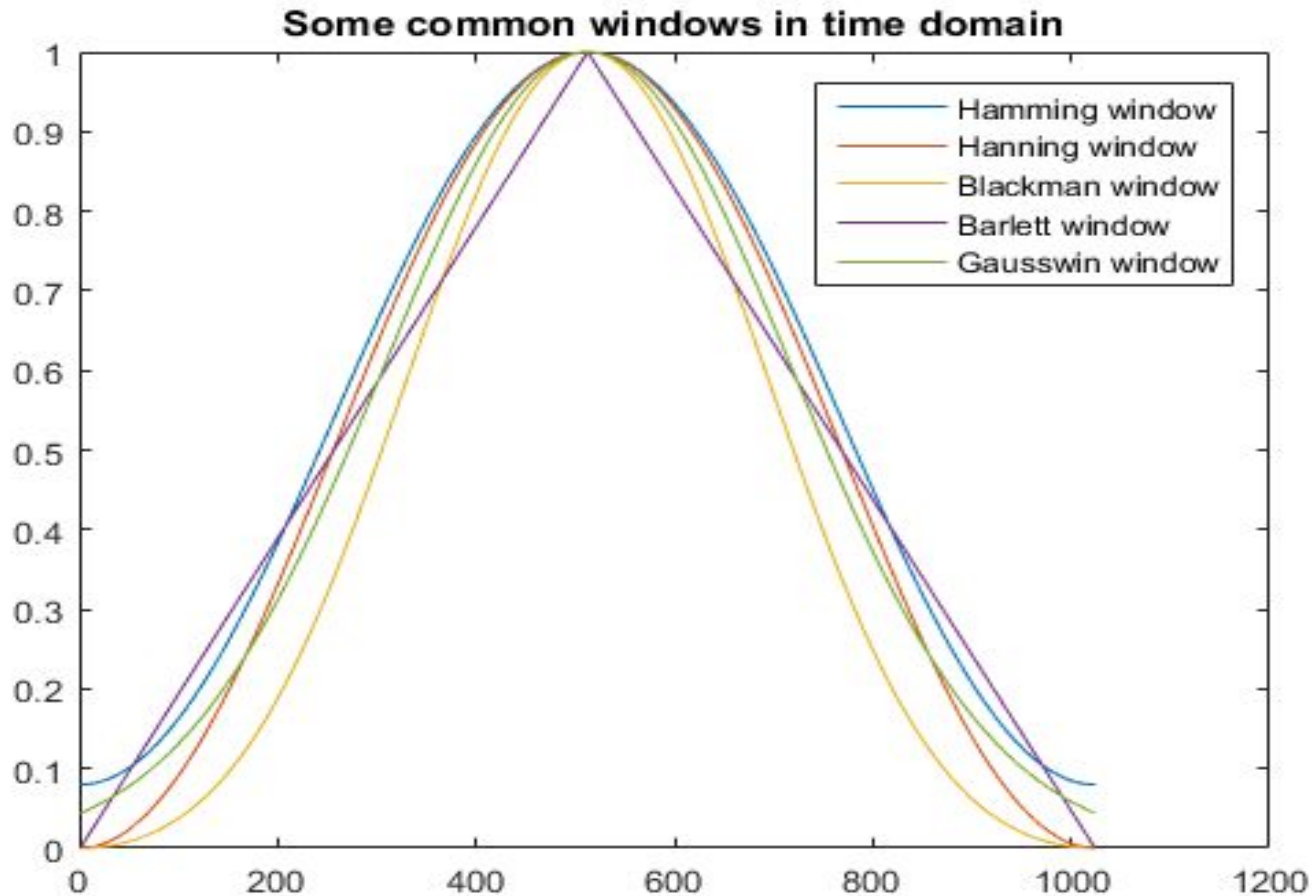


!Log scale! (Db is logarithmic unit)

$$\text{Amplitude}_{\text{dB}} = 10 \cdot \log_{10}(P_1 / P_0)$$

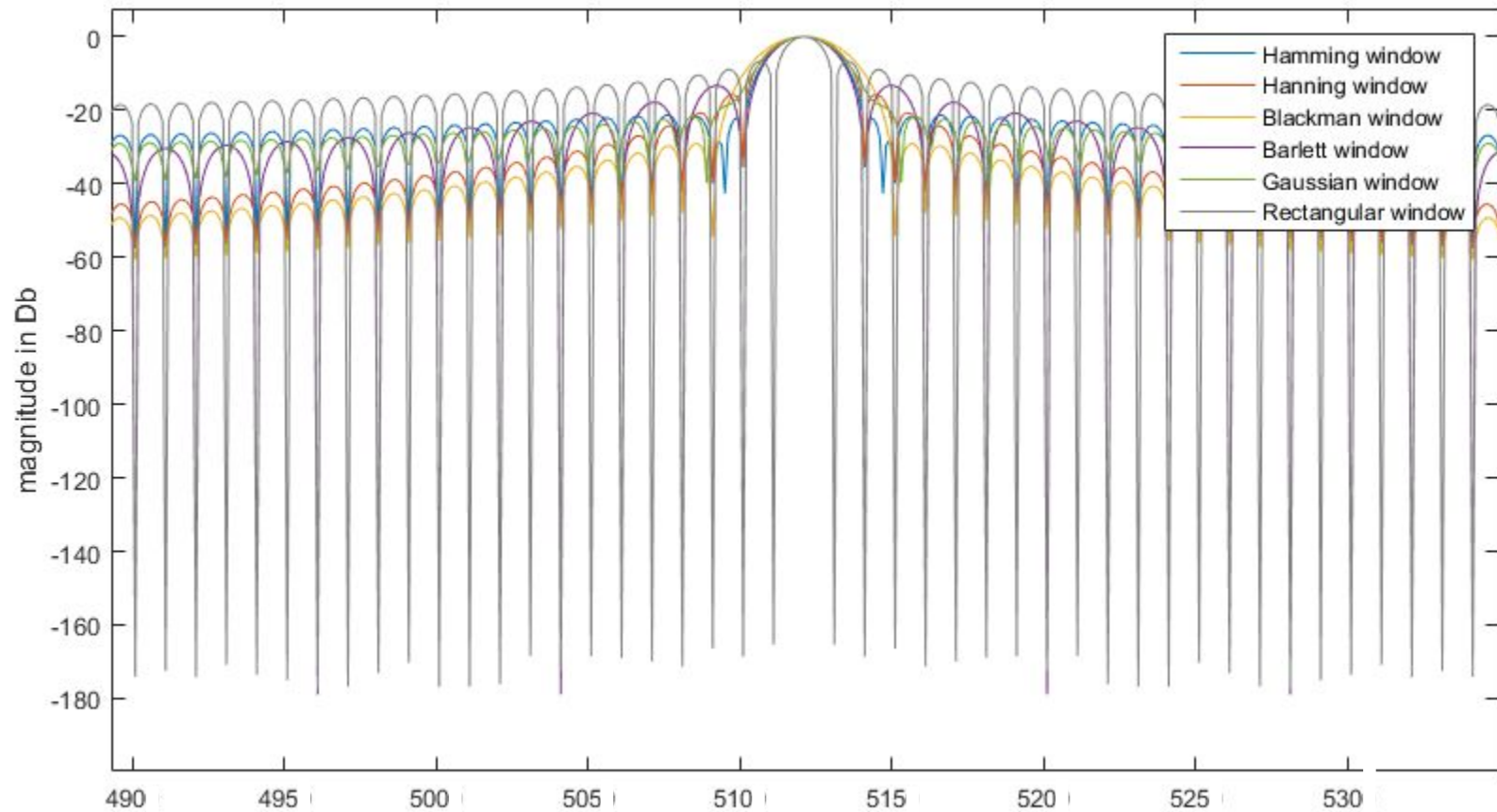
- Signal in acquisition buffer will be **multiplied** with a „smooth window function“ **per elements** before computing the FFT.
- using this „smooth“ window will **suppress the spectral leakage**
- This technique is also referred to as 'applying a window' or simply 'windowing'.

# Windowing selected windows in the time domain





# Windowing selected windows in the spectral domain



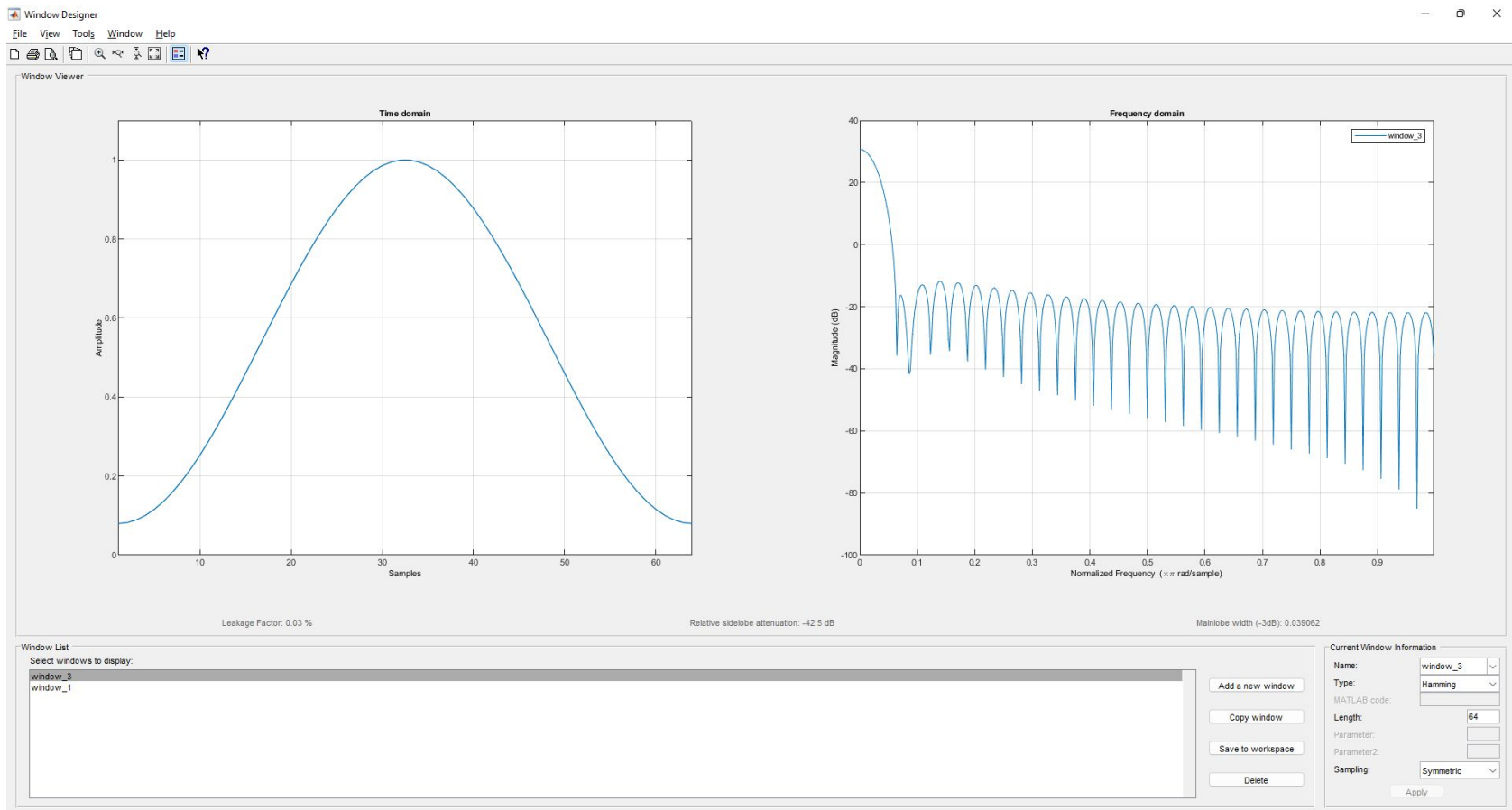
**!Log scale!** (Db is logarithmic unit)

$$Amplitude_{dB} = 10 \cdot \log_{10}(P_1 / P_0)$$

# Window Designer in Matlab

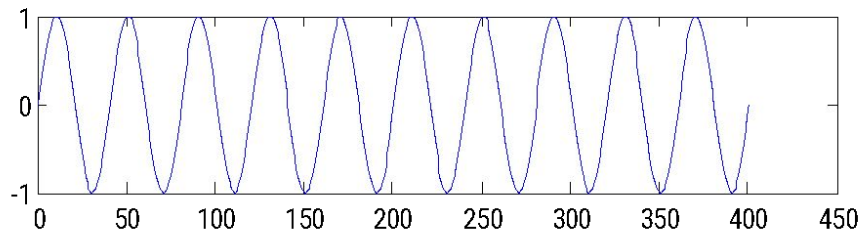
windowDesigner

- Leakage factor - ratio of power in the sidelobes to the total window power
- Relative sidelobe attenuation - difference in height from the main lobe peak to the highest sidelobe peak
- Main lobe width ( $-3\text{dB}$ ) - width of the main lobe at 3 dB below the main lobe peak



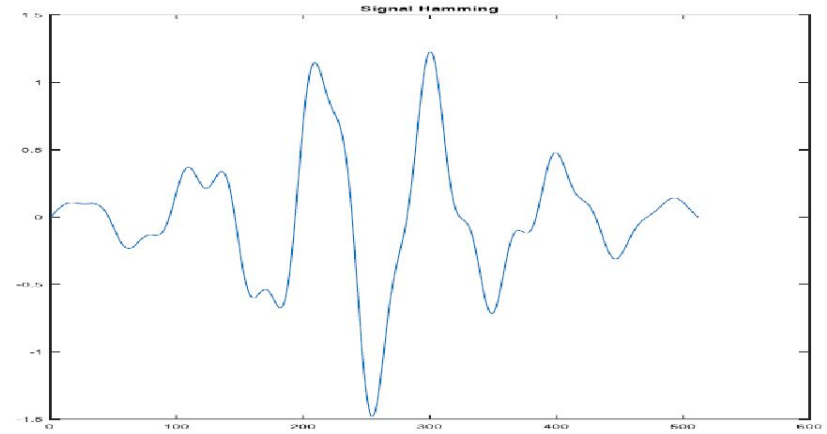
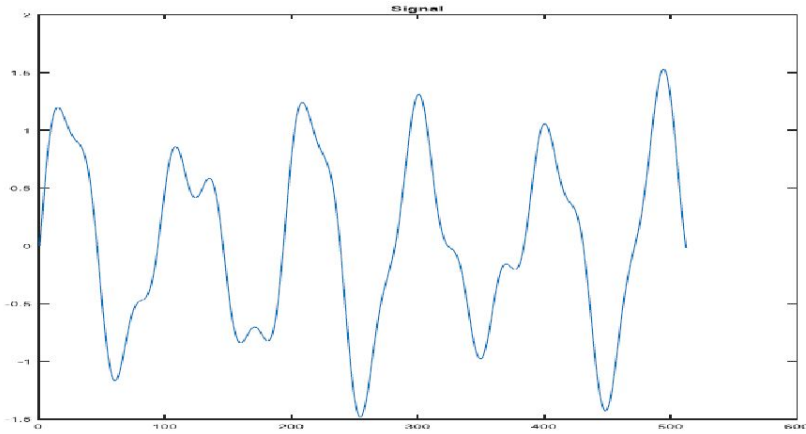
# Windowing

## Applying a window function

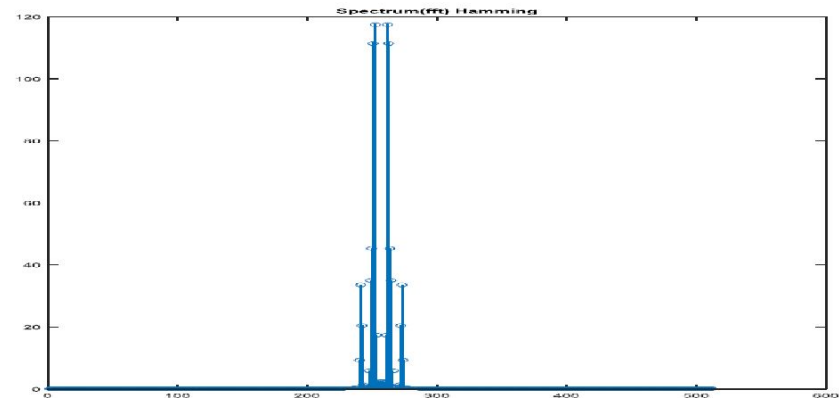
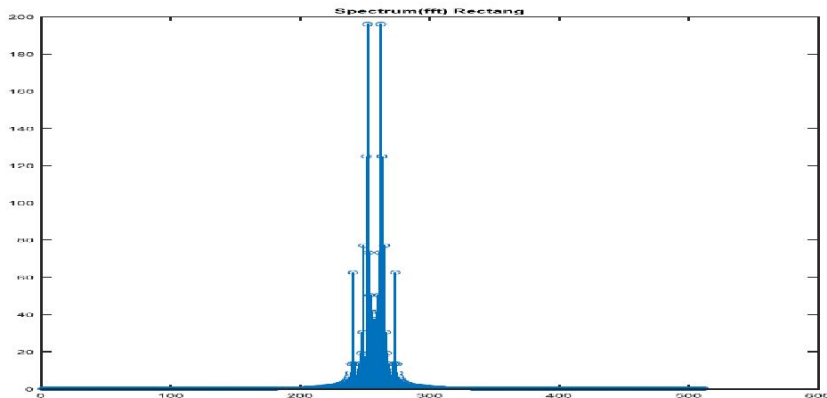


The window function (Hamming) tapers the abrupt truncation of the signal but preserves its frequency characteristics

# Windowing - Examples

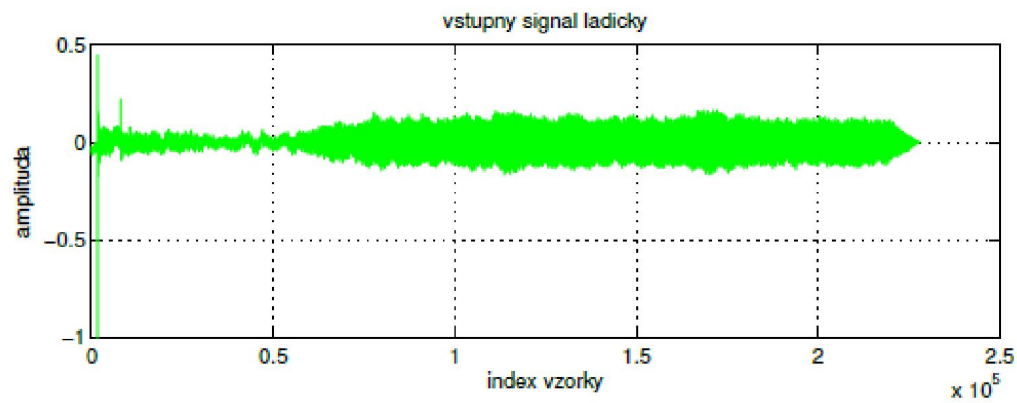


Pôvodný signál a signál vynásobený pravouhlým(vľavo) a Hammingovým okienkom(vpravo)

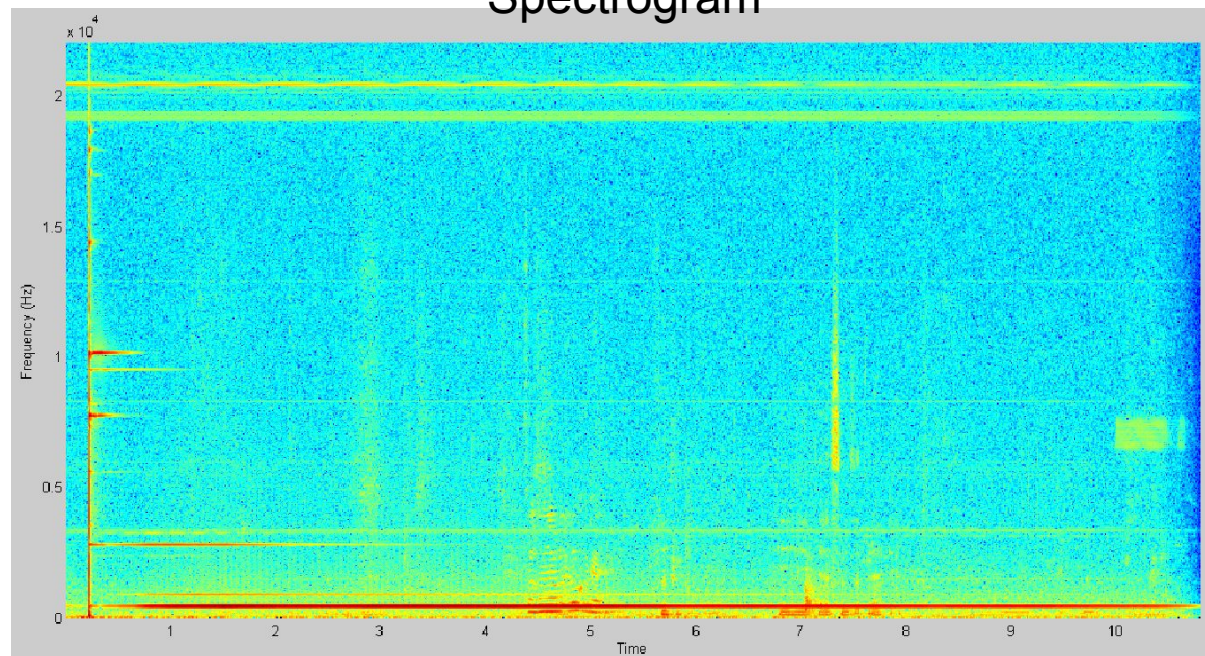


FFT vypočítané zo signálu násobeného pravouhlým okienkom (vľavo) a Hammingovým okienkom (vpravo)

# Príklad - ladička



Spectrogram



# Príklad – ladička

## fft size= 1024

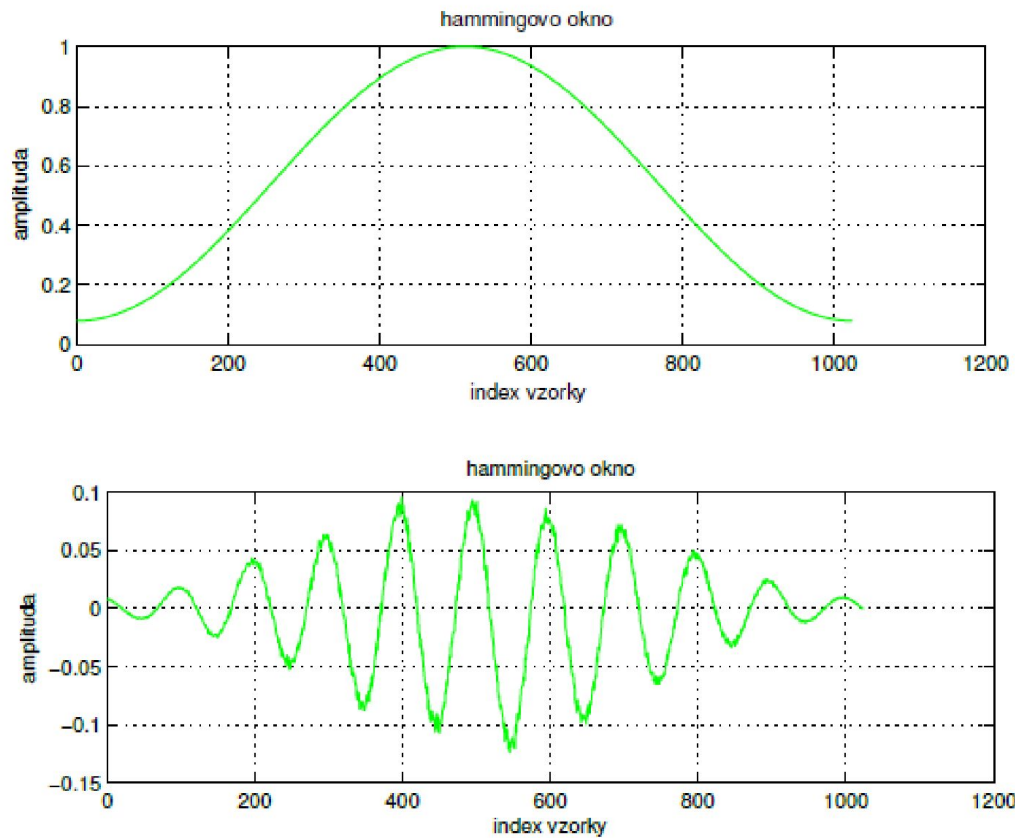


Figure 3: Periodický signál so šumom v spektre vysokých frekvencií, na ktorý bolo aplikované hammingovo okno.



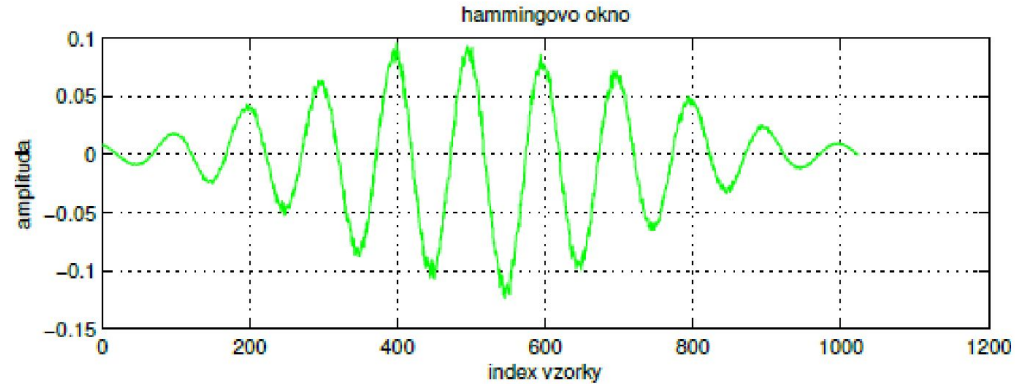
# Príklad - ladička

$F_s = 44100$  Hz

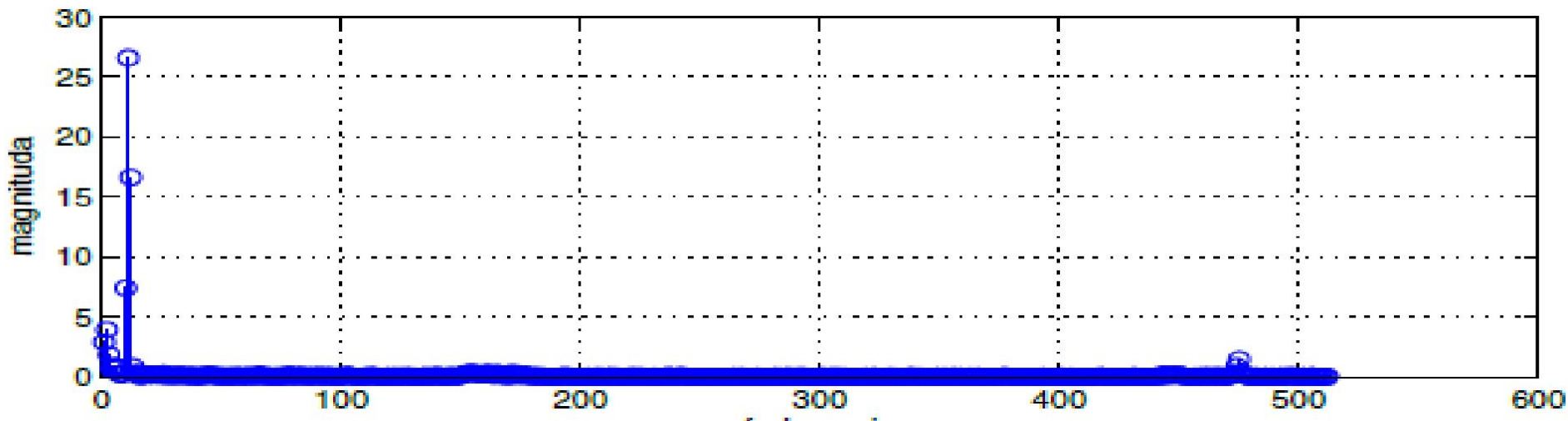
Veľkosť okna: 1024

440 Hz je dominantne v  
10. komponente (presne 10,2)

Signál po vynásobení Hammingovým oknom



Magnitude spectrum



# Zero padding



# Zero padding

- In the time domain
- In the frequency domain

# Why Zero-padding?

Main reason for zero-padding:  
to reach **power-of-two input samples number** by FFT

Other reason for zero padding:

- **zero padding in frequency domain** increases sampling rate in time domain
- **zero padding the data in the time domain** increases the frequency resolution after DFT and thus improve the estimate.

-Frequencies in the discrete Fourier transform (DFT) are spaced at intervals of  $F_s/N$  where  $F_s$  is the sampling frequency and  $N$  is the length of the input time series (with or without zero padding).

! It works only if sampling theorem satisfied!

# Zero padding-> interpolated data

DFT increases the frequency resolution **by INTERPOLATION.**

We can not get more information, we can only get more data

-> interpolated data

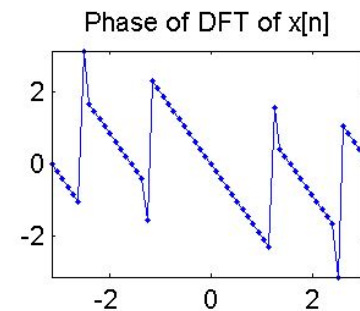
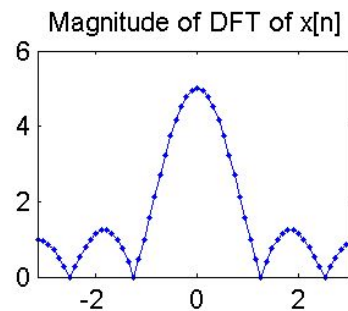
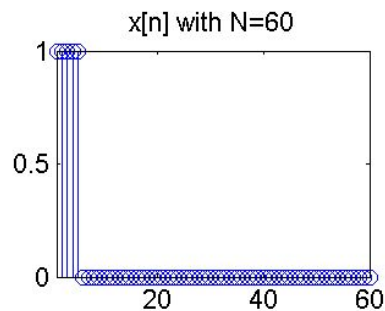
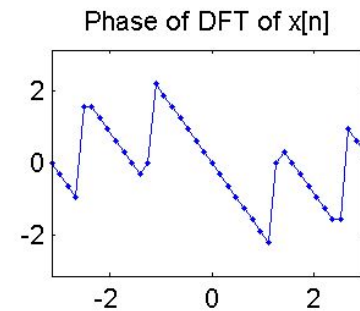
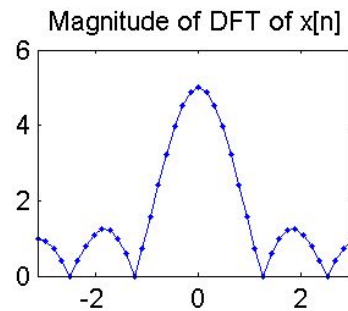
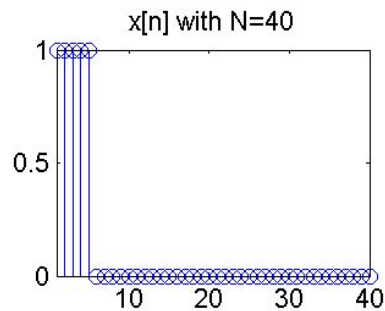
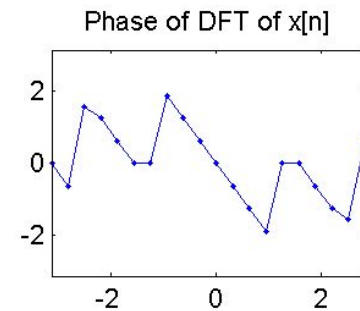
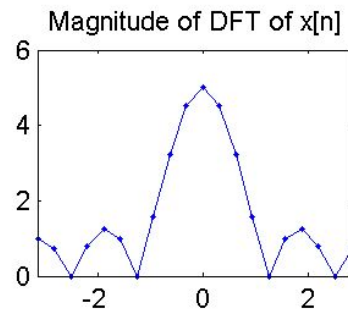
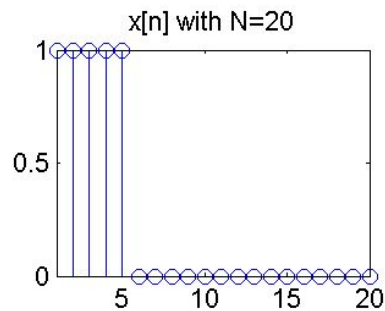
Capability to distinguish two closely-spaced frequencies :

**NOT IMPROVED** by zero-padding

Frequency inter-sampling spacing:

**INCREASED** by zero padding interpolation

# Zero padding Example



# Zero padding

Apply zero-padding AFTER windowing!